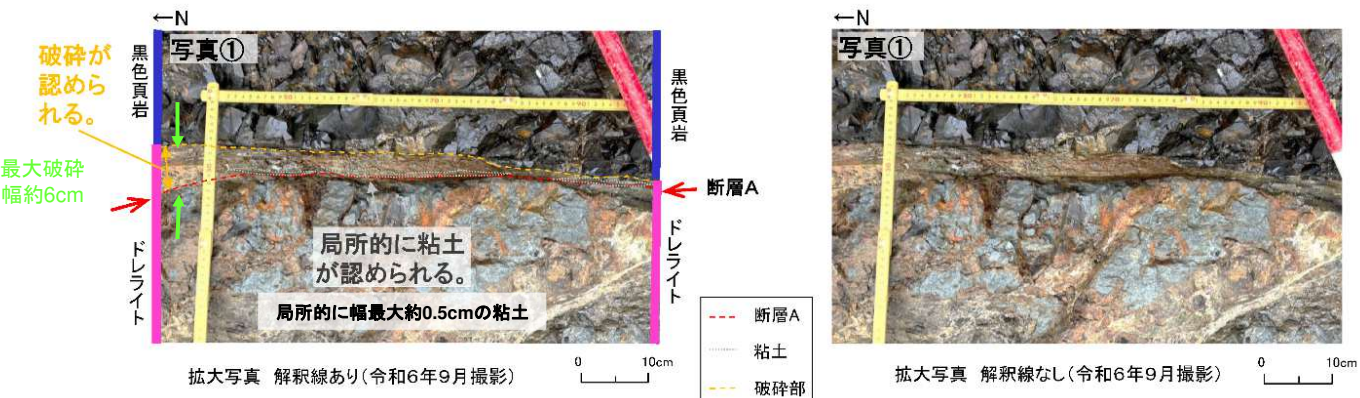
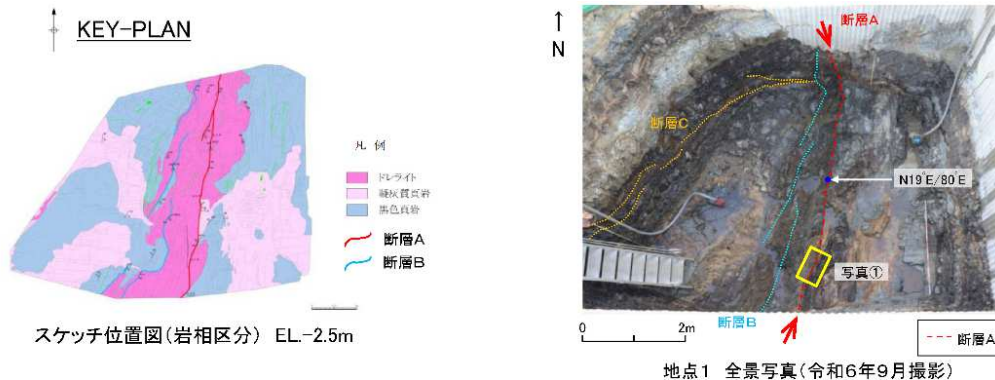


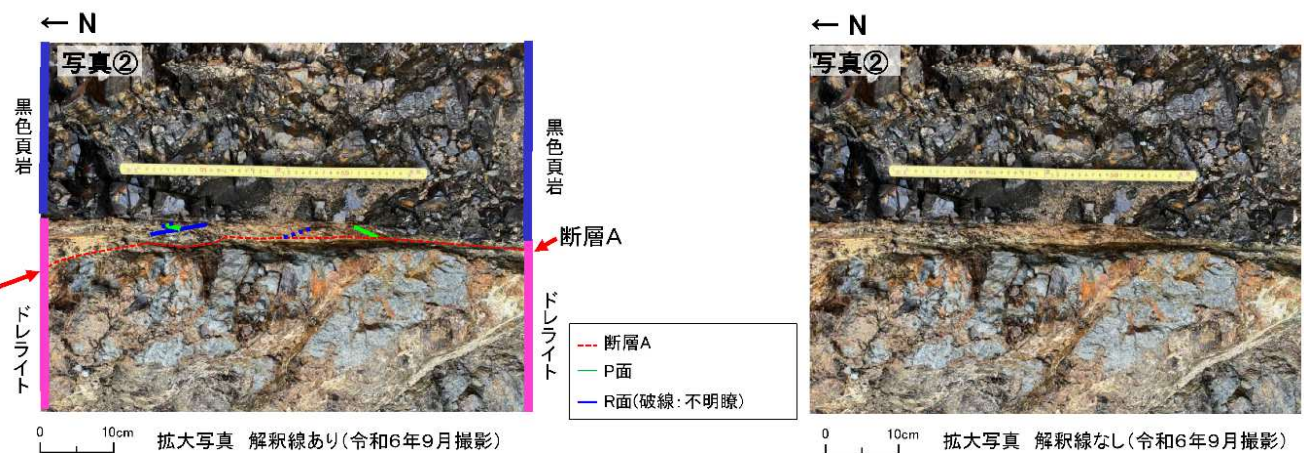
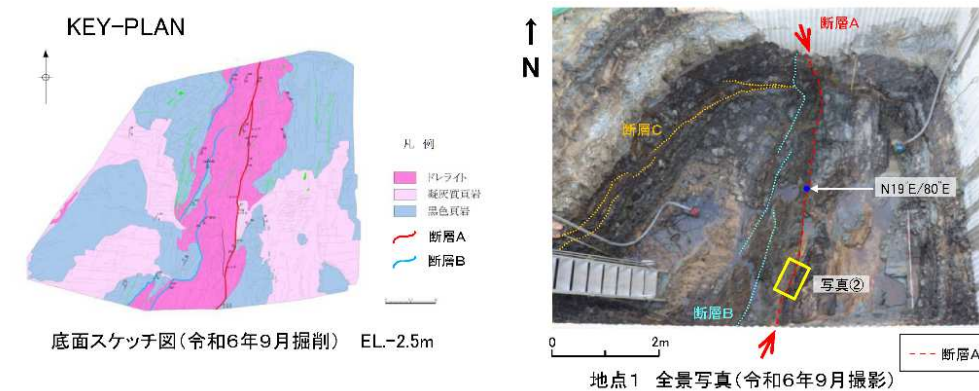
断層A 詳細観察結果（破碎の有無に係る検討）



・断層Aには、破碎が認められる。また、断層面沿いに局所的に粘土が認められる。

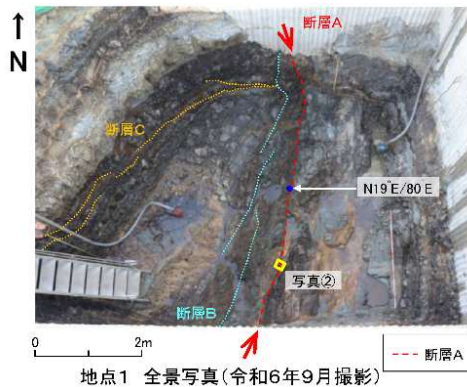
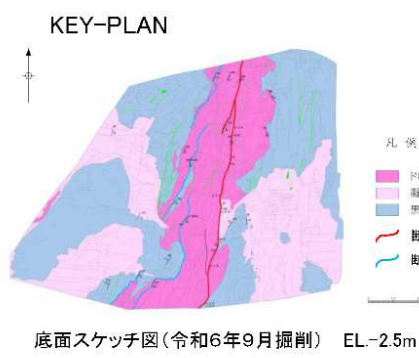
・断層Aには、微細な変形を伴う幅最大約6cmの破碎が連続して認められる。また、局所的に幅最大約0.5cmの粘土が認められる。

断層A 詳細観察結果（変位センス）



・断層Aの周辺には、左横ずれと調和的な複合面構造(P面及びR面)が認められる。

断層A 詳細観察結果（条線）

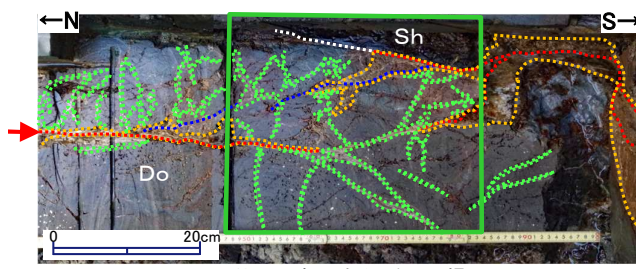


・断層面にトレンド:N27°E(レイク5°N)の条線が認められる。

以上のことから、複合面構造及び条線の方向より、断層Aの変位センスは左横ずれセンスであると評価した。

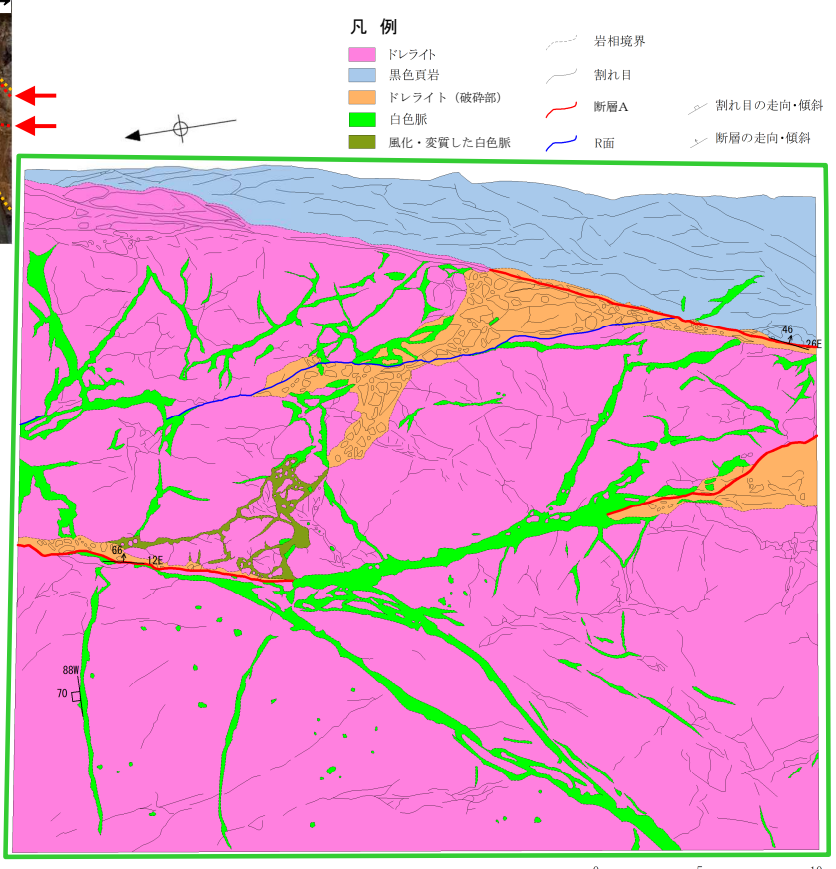
3号機の重要設備の下に、活断層等はないか

断層A 露頭観察結果（底面） 断層Aと白色脈との接触関係（底面スケッチ図）



【凡例】

← : 断層A	→ : 岩相境界
○ : 破碎部	— : 割れ目
— : R面	— : 断層A
— : 貫入境界(図中は白色)	— : 割れ目の走向・傾斜
— : 白色脈	— : 断層の走向・傾斜



・断層A周辺に白色脈が網目状に分布することが認められる。

・当該白色脈の北方及び南方では断層Aが連続的に認められることから、白色脈が充填・横断していると評価した。

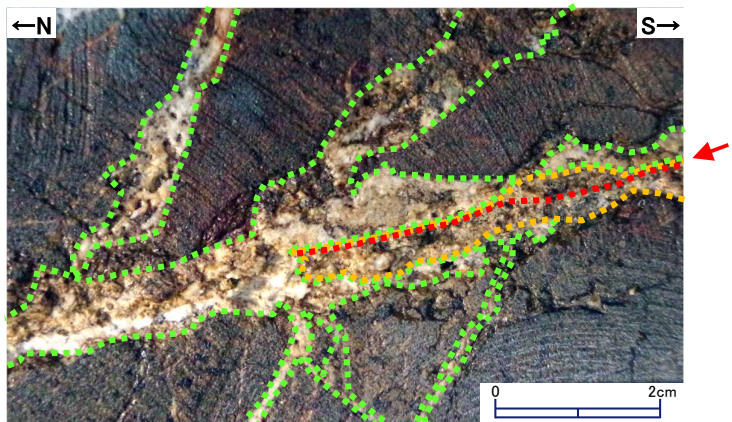
断層A 露頭観察結果（底面） 断層Aと白色脈との接触関係（南側 1／2）



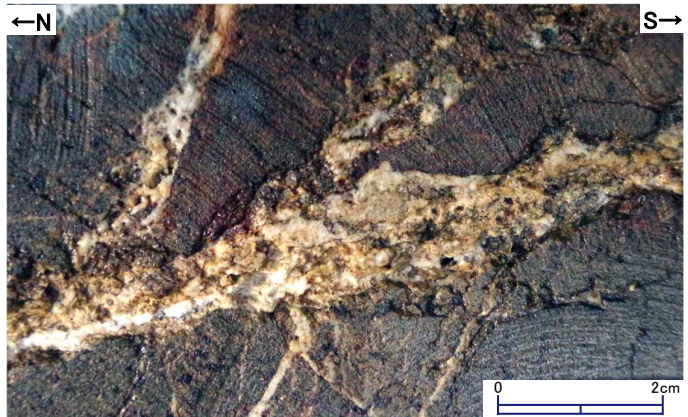
白色脈充填部拡大写真 解釈線あり(令和7年8月撮影)

【凡例】

- ← : 断層A
- : 破碎部
- : 白色脈



断層Aと白色脈の南側接触部 拡大写真① 解釈線あり(令和7年8月撮影)



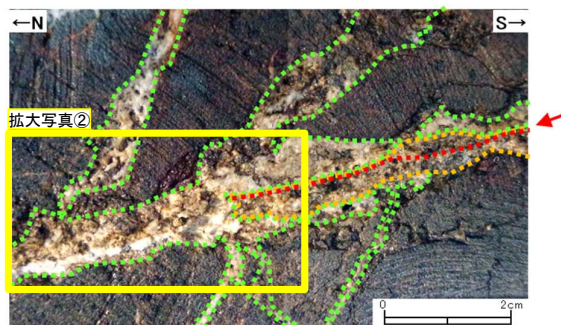
断層Aと白色脈の南側接触部 拡大写真① 解釈線なし(令和7年8月撮影)

断層Aと白色脈との接触関係のうち、南側接触部について、拡大写真①を用いて観察結果を示す。

- ・当該箇所において、白色脈が断層Aを充填・横断し、南方から連続する断層Aが以北へ連続しない。

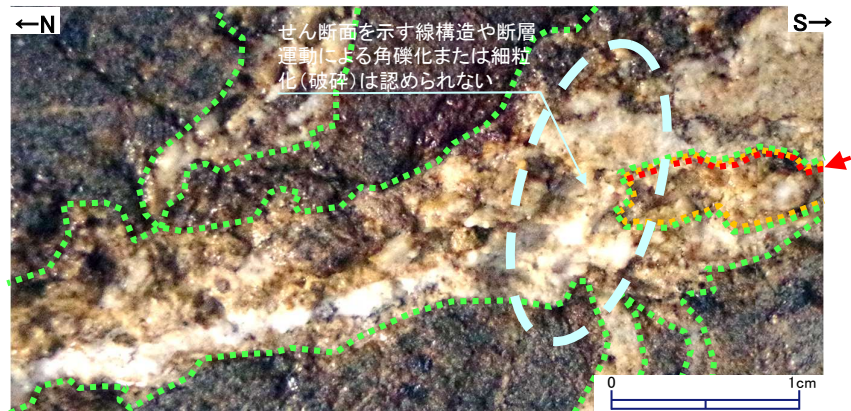
3号機の重要設備の下に、活断層等はないか

断層A 露頭観察結果（底面） 断層Aと白色脈との接触関係（南側 2／2）



断層Aと白色脈の南側接触部 拡大写真① 解釈線あり(令和7年8月撮影)

- ← : 断層A
- : 破碎部
- : 白色脈



断層Aと白色脈の南側接触部 拡大写真② 解釈線あり(令和7年8月撮影)



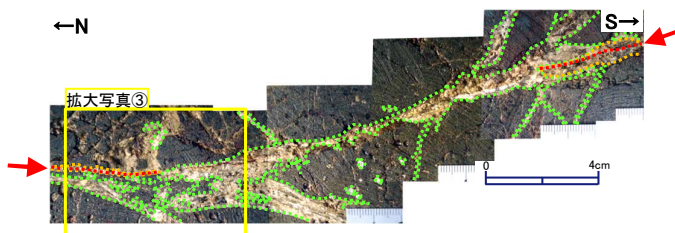
断層Aと白色脈の南側接触部 拡大写真② 解釈線なし(令和7年8月撮影)

前頁のうち断層Aと白色脈との接触部について、更に拡大した写真②を用いて詳細観察を実施した。

- ・断層Aを横断する白色脈の内部にせん断面を示す線構造や断層運動による角礫化または細粒化(破碎)は認められない。

以上のことから、断層Aを充填・横断する白色脈は変位・変形を受けていない。

断層A 露頭観察結果（底面） 断層Aと白色脈との接触関係（北側 1／2）



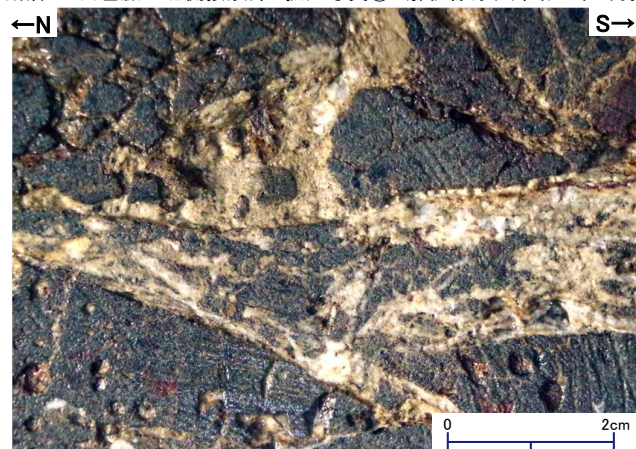
白色脈充填部拡大写真 解釈線あり(令和7年8月撮影)

【凡例】

- ← : 断層A
- : 破碎部
- : 白色脈



断層Aと白色脈の北側接触部 拡大写真③ 解釈線あり(令和7年8月撮影)



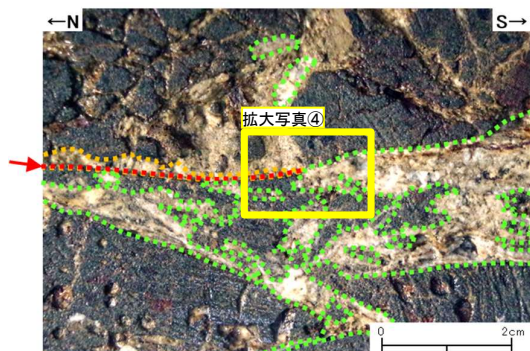
断層Aと白色脈の北側接触部 拡大写真③ 解釈線なし(令和7年8月撮影)

断層Aと白色脈との接触関係のうち、北側接触部について、拡大写真③を用いて観察結果を示す。

- ・当該箇所において、白色脈が断層Aを充填・横断し、北方から連続する断層Aが以南へ連続しない。

3号機の重要設備の下に、活断層等はないか

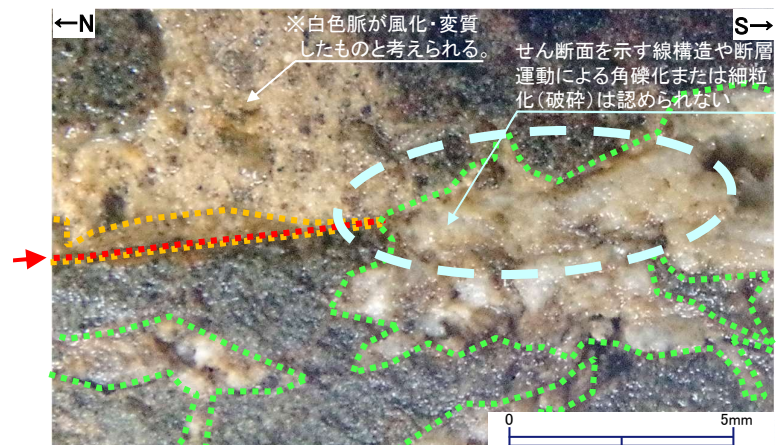
断層A 露頭観察結果（底面） 断層Aと白色脈との接触関係（北側 2／2）



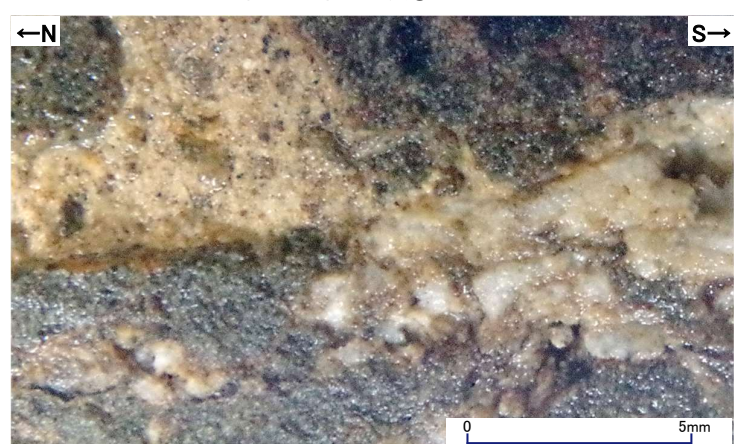
断層Aと白色脈の北側接触部 拡大写真③ 解釈線あり(令和7年8月撮影)

【凡例】

- ← : 断層A
- : 破碎部
- : 白色脈



断層Aと白色脈の北側接触部 拡大写真④ 解釈線あり(令和7年8月撮影)



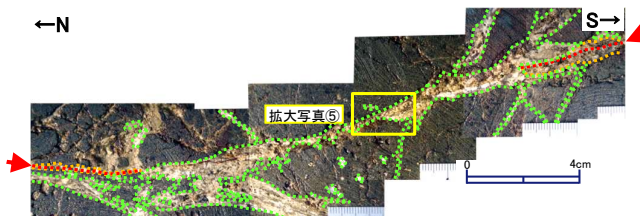
断層Aと白色脈の北側接触部 拡大写真④ 解釈線なし(令和7年8月撮影)

前頁のうち断層Aと白色脈との接触部について、更に拡大した写真④を用いて詳細観察を実施した。

- ・断層Aを横断する白色脈の内部にせん断面を示す線構造や断層運動による角礫化または細粒化（破碎）は認められない。

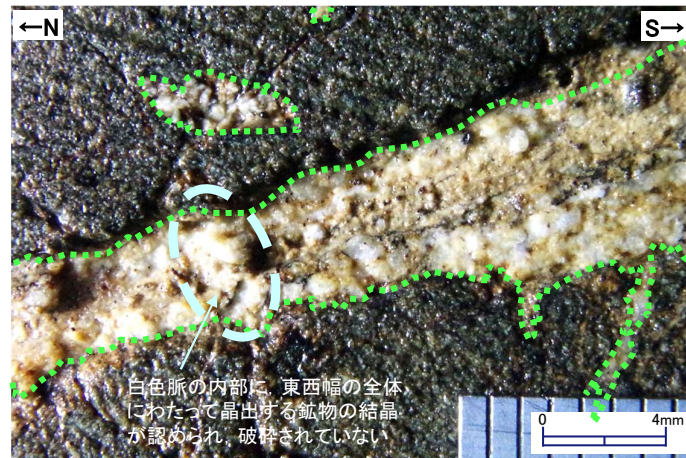
以上のことから、断層Aを充填・横断する白色脈は変位・変形を受けていない。

断層A 露頭観察結果（底面） 断層Aと白色脈との接触関係（白色脈内部 1 / 3）



【凡例】

←N : 断層A
→S : 破碎部
--- : 白色脈



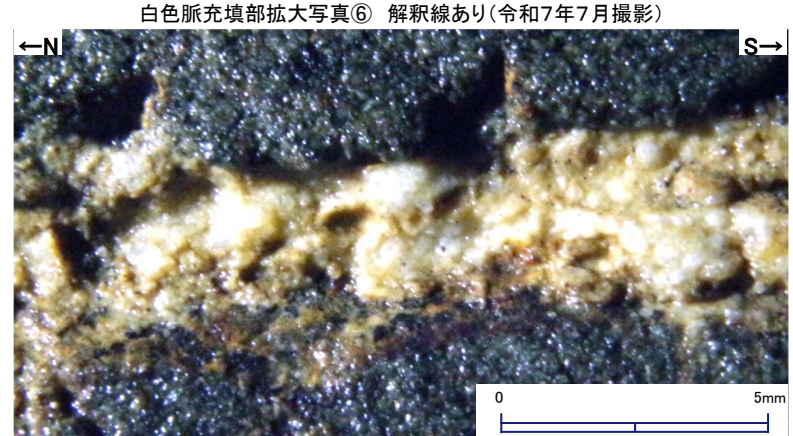
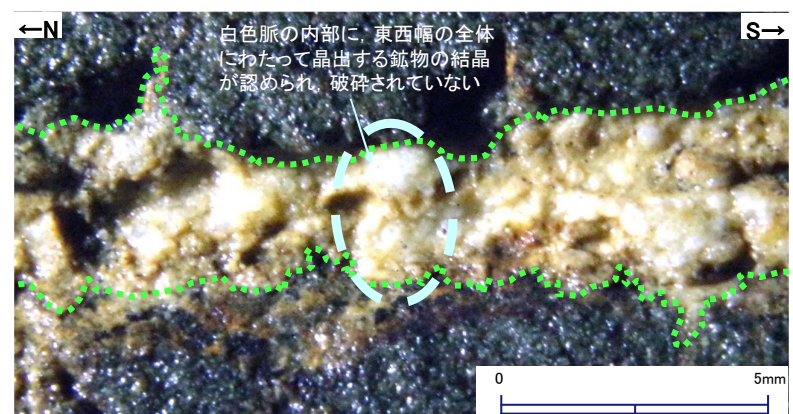
断層Aを充填・横断する白色脈の内部構造について、拡大写真⑤を用いて詳細観察を実施した。
・白色脈の内部に、東西幅の全体にわたって晶出する鉱物の結晶が認められ、破碎されていない。
以上のことから、断層Aを充填・横断する白色脈は変位・変形を受けていない。

断層A 露頭観察結果（底面） 断層Aと白色脈との接触関係（白色脈内部 2 / 3）

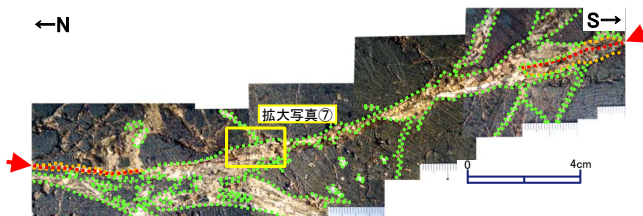


【凡例】

←N : 断層A
→S : 破碎部
--- : 白色脈

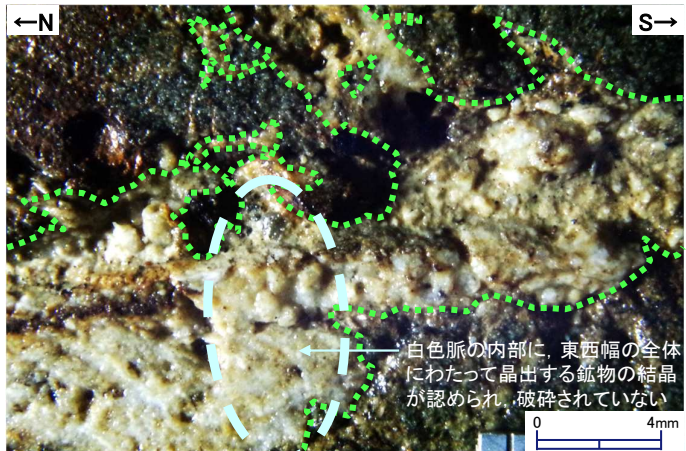


断層Aを充填・横断する白色脈の内部構造について、拡大写真⑥を用いて詳細観察を実施した。
・白色脈の内部に、東西幅の全体にわたって晶出する鉱物の結晶が認められ、破碎されていない。
以上のことから、断層Aを充填・横断する白色脈は変位・変形を受けていない。

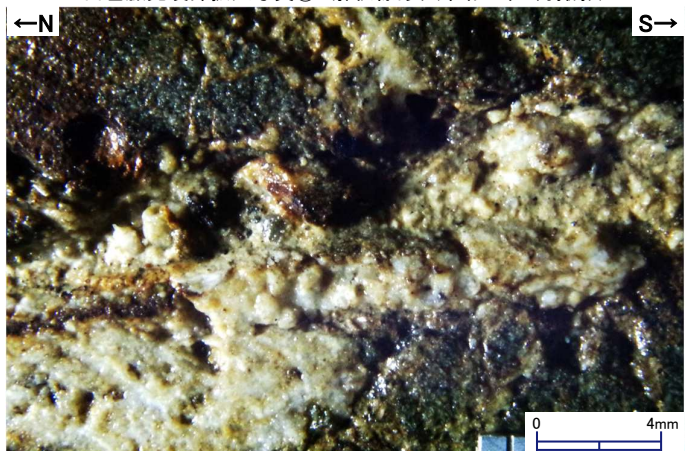


白色脈充填部拡大写真 解釈線あり(令和7年8月撮影)

【凡例】
 ←N : 断層A
 ↗ : 破碎部
 ⬤ : 白色脈



白色脈充填部拡大写真⑦ 解釈線あり(令和7年7月撮影)

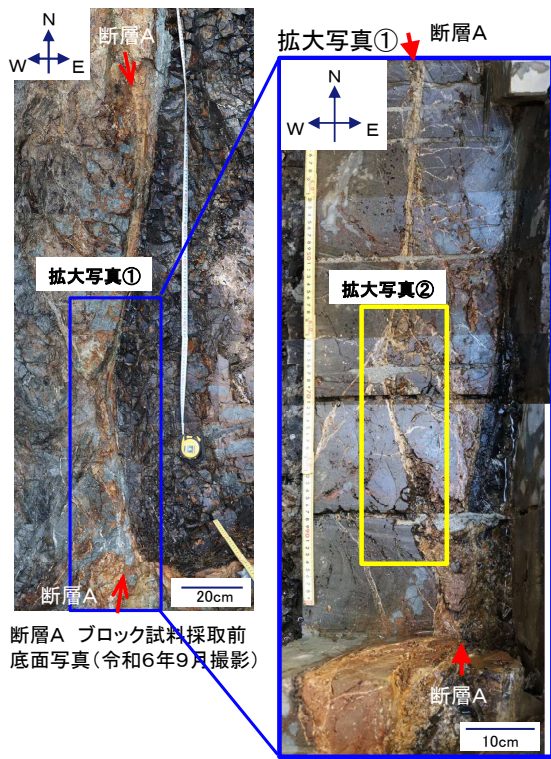


白色脈充填部拡大写真⑦ 解釈線なし(令和7年7月撮影)

断層Aを充填・横断する白色脈の内部構造について、拡大写真⑦を用いて詳細観察を実施した。
 -白色脈の内部に、東西幅の全体にわたって晶出する鉱物の結晶が認められ、破碎されていない。
 以上のことから、断層Aを充填・横断する白色脈は変位・変形を受けていない。

断層A X線回折分析結果

・断層Aを含むブロック試料の採取(P177以降参照)後に追加掘削した底面において、断層Aを充填・横断する白色脈より試料を採取し、X線回折分析を実施する。

断層A ブロック試料採取前
底面写真(令和6年9月撮影)断層A ブロック試料採取・追加掘削後(研磨前)
底面写真(令和7年6月撮影)断層A X線回折分析試料採取箇所※1
断層Aを充填・横断する白色脈より採取(令和7年6月撮影)

※1: 試料は、露頭研磨前の底面の白色脈から採取しているが、研磨(2cm程度)後において観察・評価した白色脈と一連の白色脈と考えている。

断層AにおけるX線回折分析結果※2

主要造岩 鉱物類	沸石	粘土鉱物	炭酸塩鉱物
試料採取箇所	ロ モ ン タ イ ト	緑 混 石 合 ／ ス メ 鉱 タ 物 イ ト	ド ロ マ イ ト
	一	層 メ 鉱 タ 物 イ ト	
	モ ン タ イ ト	ク タ 物 イ ト	
断層Aを充填・横断する白色脈	○	◎	+

◎: 多量 ○: 中量 +: 微量

※2: 上記X線回折分析におけるX線チャートを補足説明資料3. (1)a. に示す。

・X線回折分析の結果、断層Aを充填・横断する白色脈には熱水変質鉱物であるローモンタイトが認められる。

ローモンタイトの生成温度に関する検討（文献調査結果）

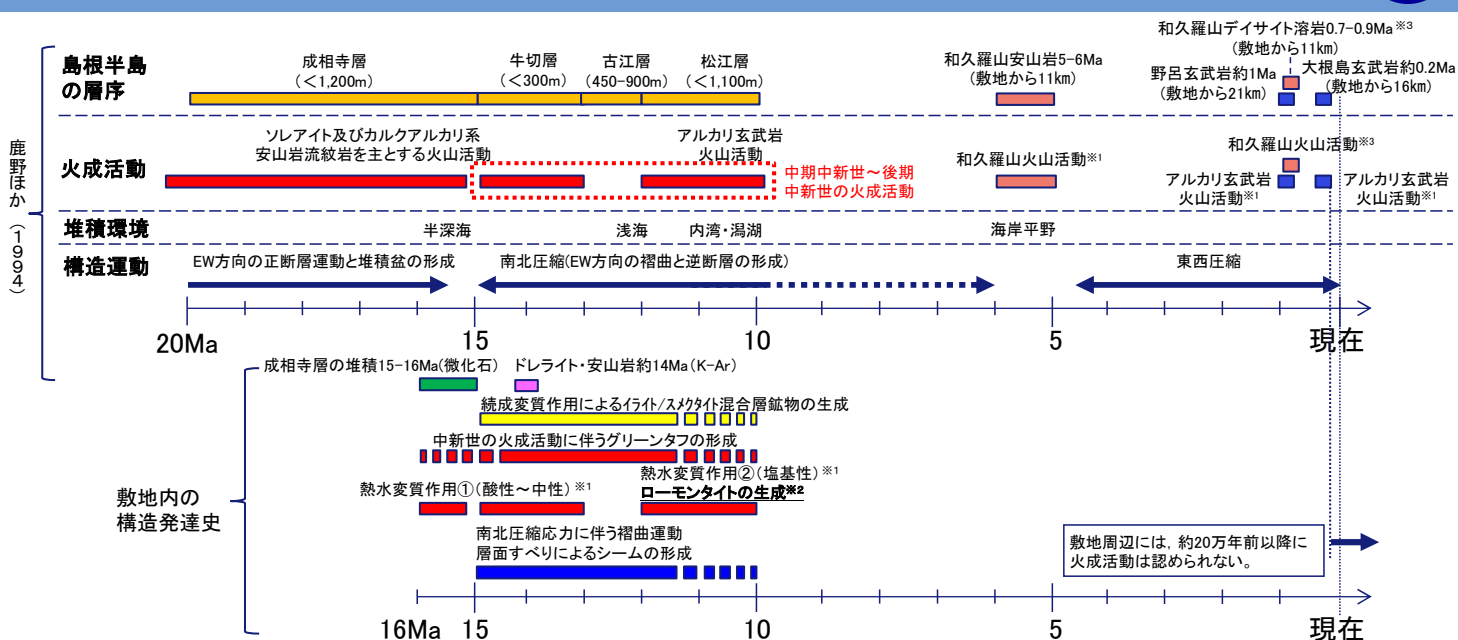
沸石の生成温度一覧表

	沸石の生成温度一覧表							
	方沸石 NaAlSi ₂ O ₆ · H ₂ O	ローモンタイト CaAl ₂ Si ₄ O ₁₂ · 4H ₂ O	クリノタイロライト (Na, K, Ca) ₂₋₃ Al ₃ (Al, Si) ₂ Si ₁₃ O ₃₆ · 12H ₂ O	スチルバイト (Ca, Na ₂ , K ₂) Al ₂ Si ₇ O ₁₈ ·7H ₂ O	チャバザイト CaAl ₂ Si ₄ O ₁₂ · 6H ₂ O	モルデン沸石 (Na ₂ , K ₂ , Ca)Al ₂ Si ₁₀ O ₂₄ ·7H ₂ O	輝沸石 (Ca, Na ₂)Al ₂ Si ₇ O ₁₈ ·6H ₂ O	ワイラケ沸石 CaAl ₂ Si ₄ O ₁₂ · 2H ₂ O
井沢(1996)	—	140°C~210°C	140°C以下	140°C以下	—	80°C~140°C	—	210°C以上
歌田(1997)	84°C~123°C	100°C~150°C	44°C~84°C	—	—	—	—	—
吉村(2001)	120°C~220°C	200°C~260°C	—	70°C以下	70°C以下	120°C以下	100°C~200°C	250°C以上
吉村(2003)	70°C以下	100°C~170°C	100°C以下	—	—	—	100°C以下	—
星ほか(1992)	80°C~110°C	138°C~150°C	—	—	—	—	—	—
Iijima(1978)	84°C~124°C	120°C以上	124°C以下	—	—	124°C以下	84°C~124°C	—

・文献調査の結果、ローモンタイトの生成温度は100°C以上とされている。

3号機の重要設備の下に、活断層等はないか

敷地内で確認された鉱物の生成時期及び活動性評価結果



※1 鹿野ほか(1994)の火成活動の時期に基づく。

※2 断層Aにおいて認められたローモンタイトは、以下の理由から、热水変質作用②により生成したと評価した。

- ・白色脈が脈状に分布することから、热水により生成された热水変質鉱物であると考えられる。
- ・ローモンタイトは塩基性の変質鉱物であり、文献調査の結果、敷地周辺の塩基性の热水変質作用は、热水変質作用②のみであること。
- ・ローモンタイトの生成温度は、文献調査の結果、現在の地温と比較して高温であること(3. (3) b. (b) 参照)。

※3 Pineda-Velasco et al. (2018) 及び向吉ほか (2024) の年代測定結果に基づく。

・断層Aで認められるローモンタイトは、生成環境の整理の結果及び文献調査結果を踏まえ、中期中新世～後期中新世の火成活動により生成された热水変質鉱物であるローモンタイトが認められる白色脈が断層Aを充填・横断しており、白色脈の内部に認められる鉱物の結晶は破碎されておらず、白色脈は変位・変形を受けていないことから、断層Aは後期更新世以降に活動していないと評価した。

露頭観察、研磨片観察及びX線回折分析により断層Aを対象とした鉱物脈法による活動性評価を実施した結果、中期中新世～後期中新世の火成活動により生成された热水変質鉱物であるローモンタイトが認められる白色脈が断層Aを充填・横断しており、白色脈の内部に認められる鉱物の結晶は破碎されておらず、白色脈は変位・変形を受けていないことから、断層Aは後期更新世以降に活動していないと評価した。